



---

## О подходе к анализу векторов атак злоумышленников на информационные системы с использованием событийно-формальной модели

*И.А. Трещев, Я.Ю. Григорьев*

*Комсомольский-на-Амуре государственный университет*

**Аннотация:** В работе рассматриваются модели поведения злоумышленников при реализации атак на информационные системы. Предлагается использование расширенной событийно-формальной модели размеченных систем переходов с введением дополнительной функции, определяющей время, в течение которого происходит событие, обеспечивающих оценку общего времени реализации сценария атаки с учетом возможных траекторий. Предлагается формальный язык для описания сценариев атак, нотация подобная алгебраической, в которой сложение коммутативно и ассоциативно, умножение не коммутативно и ассоциативно. Формулируются правила построения всевозможных траекторий для определенного вида атак, приводится порядок расчета их количества. Приведена схема и выражение для обобщенных атак с определенными ограничениями. Рассматривается описание атаки с помощью графа, соответствующего системе переходов, и по графу строится выражение на языке сценариев

**Ключевые слова:** моделирование атак, информационная безопасность, система переходов, временная задержка, формальный язык, сценарий атаки, траектория атаки, вектор атаки, кибербезопасность, анализ уязвимостей, защита информации, поведение злоумышленника.

### Введение

Использование традиционных методов защиты, таких как криптография, межсетевые экраны, антивирусные программы, системы обнаружения и предотвращения вторжений, часто оказывается недостаточным, в условиях сложных, целевых и многоэтапных атак, выполняемых высококвалифицированными злоумышленниками [1].

В связи с этим, возникает необходимость в разработке и применении новых методов и средств, позволяющих описывать и прогнозировать поведение злоумышленников, обеспечивающих эффективное противодействие их поведению, формирующих оценку времени необходимого для реализации сценариев атак с учетом неоднозначности в последовательности выполнения этапов таких сценариев.

В настоящее время для моделирования сценариев реализации атак злоумышленников используются деревья и графы атак [2-4], контекстно-свободные грамматики [5], сети Петри и темпоральные модели [6], сценарии использования, вероятностные методы и сети Маркова [7], подходы, основанные на использовании искусственных нейронных сетей [8].

Предполагается, что есть некоторая отправная точка сценария атаки, например, формирование и отправка фишингового письма, рекогносцировка в сети, а в результате реализации сценария злоумышленник получит вполне определенный результат [9], например, эскалация привилегий до учетной записи администратора системы управления базами данных (СУБД), получение прав администратора домена в сети.

### Анализ траекторий

Рассмотрим расширение размеченных систем переходов (Labelled Transition System – LTS) [10] введением дополнительно выделенного конечного состояния и функции времени, определяющей задержку при наступлении соответствующего события.

Временная размеченная система переходов (Timed Labelled Transition System – TLTS) определяется как кортеж:

$$TLTS = (S, L, E, Tran, i_0, f, l, T),$$

где  $S$  – множество состояний,  $L$  – множество меток,  $E$  – множество событий, которые могут происходить,  $Tran \subseteq S \times E \times S$  – отношение перехода между состояниями,  $i_0$  – начальное состояние из  $S$ ,  $f$  – конечное состояние из  $S$ ,  $T: E \rightarrow R_{\geq 0}$  – totally определенная на  $E$  инъективная функция, задающая время, как задержку при наступлении события (рациональное число, или возможно ноль),  $l: E \rightarrow L$  – биективная функция, описывающая события при помощи меток.

Для записи перехода будем использовать обозначение:

$$s \xrightarrow{a,t} s',$$

которое означает, что система, находясь в состоянии  $s$ , при возникновении события с меткой  $a$  переходит в состояние  $s'$  после задержки  $t$  условных единиц времени.

Путем будем называть такую последовательность состояний  $(s_1, s_2, \dots, s_n)$ , что одновременно выполняются три условия:

- 1)  $s_1 = i_0, s_n = f, \forall s_i \in S, i = \overline{1..n}$
- 2)  $\exists (a_1, a_2, \dots, a_{n-1}) \mid \forall a_i \in E, i = \overline{1..n-1},$
- 3)  $\forall j = \overline{1..n-1}, (s_j, a_j, s_{j+1}) \in \text{Tran}.$

Другими словами, имеет место последовательность

$$i_0 \xrightarrow{a_1, t_1} s_2 \xrightarrow{a_2, t_2} \dots \xrightarrow{a_{n-2}, t_{n-2}} s_{n-1} \xrightarrow{a_{n-1}, t_{n-1}} f$$

Следует отметить, что путь, соединяющий два состояния возможно не единственный, с точки зрения последовательности состояний, входящих в этот путь.

Под длиной пути будем понимать количество состояний  $n$ .

Временем реализации пути назовем величину

$$d(s_1, s_2, \dots, s_n) = \sum_{i=1}^{n-1} t_i,$$

ясно что из того, что один путь длиннее или короче другого в общем случае не следует аналогичное неравенство относительно времени реализации этих путей.

Два пути назовем равными, если равно время их реализации.

Предположим, что злоумышленник не будет возвращаться в то состояние на пути, в котором он уже побывал и будем рассматривать *TLTS* удовлетворяющие следующим условиям:

- 1) Нет циклов начинающихся и заканчивающихся в одной и той же вершине

$\forall n \in N, \nexists (a_1, a_2, \dots, a_{n-1}), \forall a_i \in E, i = \overline{1..n-1} \mid \exists (s_1, s_2, \dots, s_n), \forall s_i \in S, i = \overline{1..n},$

$s_1 = s_n \ \& \ \forall j = \overline{1..l}, (s_j, a_j, s_{j+1}) \in Tran$

2) Отсутствуют петли, частный случай цикла

$\forall s \in S, \nexists e \in E, (s, e, s) \in Tran$

3) Для любых двух состояний они могут быть соединены одним и только одним событием

$\forall s_1, s_2 \in S, e_1 \in E, e_2 \in E, (s_1, e_1, s_2) \in Tran, (s_1, e_2, s_2) \in Tran \Rightarrow e_1 = e_2$

Обозначим через  $Trace(TLTS)$  множество всевозможных путей, соединяющих начальное и конечное состояние, тогда под временем реализации атаки (с использованием некоторой последовательности уязвимостей) будем величину  $T(TLTS)$ , для которой справедливо

$$\min_{(s_1, s_2, \dots, s_n) \in Trace(TLTS)} d(s_1, s_2, \dots, s_n) \leq T(TLTS) \leq \max_{(s_1, s_2, \dots, s_n) \in Trace(TLTS)} d(s_1, s_2, \dots, s_n)$$

Подобно формальному языку исчисления коммуницирующих систем Милнера (Milner's calculus of Communicating Systems – Milner's CCS) [6] мы можем описать поведение TLTS с использованием операторов, при этом процессам поставим в соответствие состояния, а действиям события. Далее будем использовать следующие обозначения:

$(P + Q)$  – означает, что система может перейти или в состояние  $P$  или  $Q$ , при этом на множестве состояний пара  $(S, +)$  образуют коммутативную полугруппу.

-  $(P * Q)$  – означает, что система последовательно переходит в состояние  $P$  затем в  $Q$ . При этом отметим, что операция  $*$  некоммутативна (далее будем опускать знак умножения), и  $(S, *)$  образуют полугруппу. Операция  $*$  дистрибутивна относительно  $+$ .

Визуально вектора атак будем представлять в форме графов, где его вершины, это состояния, а ребра соединяют состояния, принадлежащие отношению  $Tran$ .

## Построение траекторий

Пусть сценарий выглядит следующим образом (такого рода сценарий назовем линейным)  $V = OA_1A_2\dots A_nZ$ , ясно что в этом случае мы имеем одну траекторию реализации данного сценария. При этом ограничимся рассмотрением систем переходов без времени и без меток. Тогда графовое представление сценария см. рис. 1

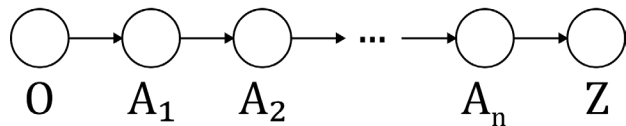


Рис. 1. Линейный сценарий

Если для некоторого  $i$  на этапе  $A_i$  у злоумышленника появляются две альтернативы (система может перейти в два состояния)  $A_i^1$  или  $A_i^2$ , другими словами, тогда имеем две траектории  $OA_1A_2A_{i-1}A_i^1A_{i+1}\dots A_nZ$  или  $OA_1A_2A_{i-1}A_i^2A_{i+1}\dots A_nZ$ , или  $V = OA_1A_2A_{i-1}(A_i^1 + A_i^2)A_{i+1}\dots A_nZ$ , см. рис. 2.

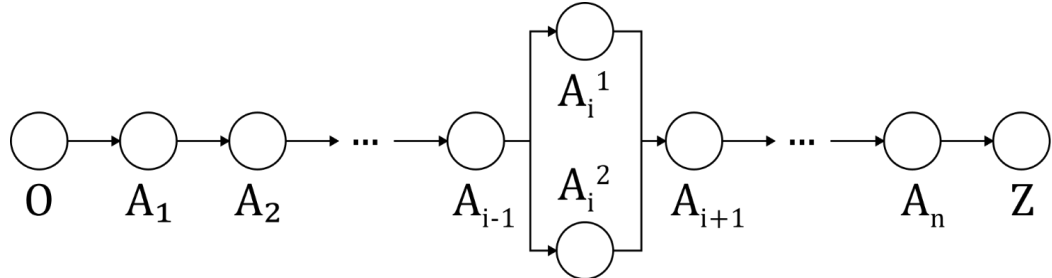


Рис. 2. Альтернативные сценарии

Ясно что если бы альтернатив было  $m$ , то и траекторий в этом случае было бы тоже  $m$ . Вектор атаки в этом случае описывался задается выражением

$$V = OA_1A_2\dots A_{i-1}\left(\sum_{k=1}^m A_i^k\right)A_{i+1}\dots A_nZ,$$

формирующим  $m$  траекторий

$$OA_1A_2A_{i-1}(A_i^1)A_{i+1}\dots A_nZ, OA_1A_2A_{i-1}(A_i^2)A_{i+1}\dots A_nZ, \dots,$$

$$OA_1A_2A_{i-1}(A_i^{m-1})A_{i+1}\dots A_nZ, OA_1A_2A_{i-1}(A_i^m)A_{i+1}\dots A_nZ$$

Таким образом сформулируем правило – для каждого слагаемого в скобках существует отдельная траектория, включающая его.

**Замечание 1:** В том случае если вектор представляет из себя выражение

$$V = OA_1A_2 \dots A_{i-1} \left( \sum_{k=1}^m A_i^k \right) A_{i+1} \dots A_{j-1} \left( \sum_{k=1}^l A_j^k \right) A_{j+1} \dots A_n Z$$

количество траекторий будет равно произведению  $ml$ . И правило формирования траекторий можно обобщить, рассматривая действие состоящие из двух этапов – выбор для траектории слагаемого из первой скобки и из второй. При этом для каждой траектории те состояния, которые наступают последовательно остаются неизменными.

Далее рассмотрим вектора, которые задаются как последовательность сменяющихся этапов двух видов – последовательный переход из одного состояния в другое и выбор из определенного числа альтернатив. Пусть сначала выполняется  $i_1$  этапов атаки один за другим, затем происходит выбор из  $j_1$  альтернатив, после которых вновь последовательно  $i_2$ , затем снова выбор из  $j_2$  и так далее до некоторых  $i_k$  и  $j_k$ . Пусть множество состояний  $A = \{O, A_1, A_2, \dots, A_n, Z\}$  и  $i \neq j \Rightarrow A_i \neq A_j$ , при этом под числом элементов  $A$  будем понимать  $n$ . и заданы наборы индексов  $I = \{i_1, i_2, \dots, i_k\}$  и  $J = \{j_1, j_2, \dots, j_k\}$ , удовлетворяющих условию

$$\sum_{m=1}^k (i_m + j_m) = n$$

и вектор атаки может быть задан в форме:

$$\begin{aligned} V = & OA_1A_2 \dots A_i \times (A_{i_1+1} + A_{i_1+2} + \dots + A_{i_1+j_1}) A_{i_1+j_1+1} + A_{i_1+j_1+2} \times \\ & \times (A_{i_1+j_1+i_2+1} + A_{i_1+j_1+i_2+2} + \dots + A_{i_1+j_1+i_2+j_2}) \times \dots \times \\ & \times (A_{i_1+j_1+i_2+j_2+\dots+i_{k-1}+j_{k-1}+i_k+1} + A_{i_1+j_1+i_2+j_2+\dots+i_{k-1}+j_{k-1}+i_k+2} + \dots + A_{i_1+j_1+i_2+j_2+\dots+i_{k-1}+j_{k-1}+i_k+j_k}) \times Z \end{aligned}$$

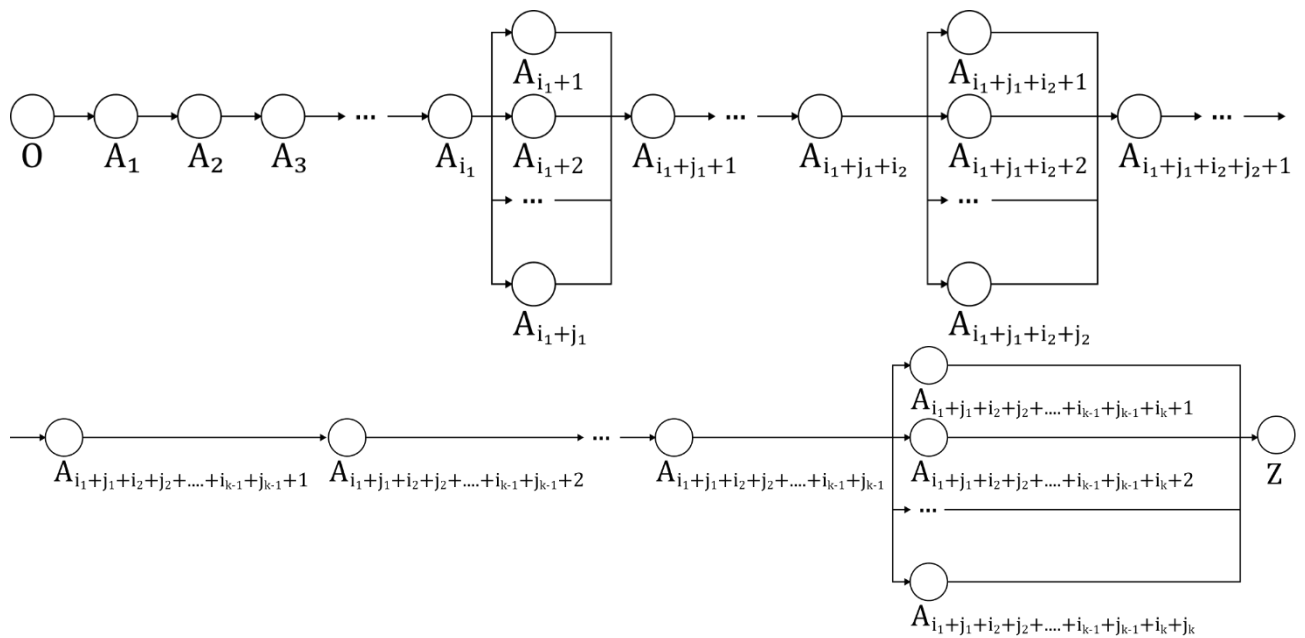


Рис. 3. Графическое представление

Исключая тривиальную линейную траекторию, представимую в виде

$$V = O\left(\prod_{t=1}^{i_1} A_t\right)Z$$

и для которой все индексы кроме  $i_1$  равны нулю, вектор атаки может быть представлен в виде:

$$V = O\left(\prod_{l=1}^k \left(\prod_{t=1}^{i_l} A_{t+\sum_{m=1}^{l-1} (i_m+j_m)}\right) \left(\sum_{t=1}^{j_l} A_{t+j_l+\sum_{m=1}^{l-1} (i_m+j_m)}\right)\right)Z$$

Замечание 2: Отметим, что для такого вида вектора атаки справедливо число траекторий будет равно

$$\prod_{l=1}^k j_k,$$

что несложно показать по индукции (используя замечание 1).

При этом правило формирования траекторий может быть обобщено на данный случай в форме выполнения действия, состоящего из  $k$  этапов – на каждом этапе выбор слагаемого из соответствующей скобки и сохранение этапов, выполняемых последовательно.

## Примеры описания траекторий

*Вектор атаки 1: Атака через вредоносное мобильное приложение*

Пусть у нас имеется набор состояний, в которых будет пребывать система, причем обозначим начальное состояние  $i_0=O$ , конечное состояние  $f=Z$ .

А – разработка или модификация легитимного мобильного приложения;

В – распространение заражённого приложения среди сотрудников;

С – установка приложения на мобильные устройства сотрудников;

Д – запрос расширенных разрешений (камера, микрофон, контакты, геолокация);

Е – фоновый сбор данных без уведомления пользователя;

F – краже учётных данных и перехват корпоративного трафика;

Г – кейлоггинг для кражи паролей и логинов;

Н – перехват кодов двухфакторной аутентификации;

Д – удалённое управление устройством.

Данный вектор может быть представлен в графической форме.

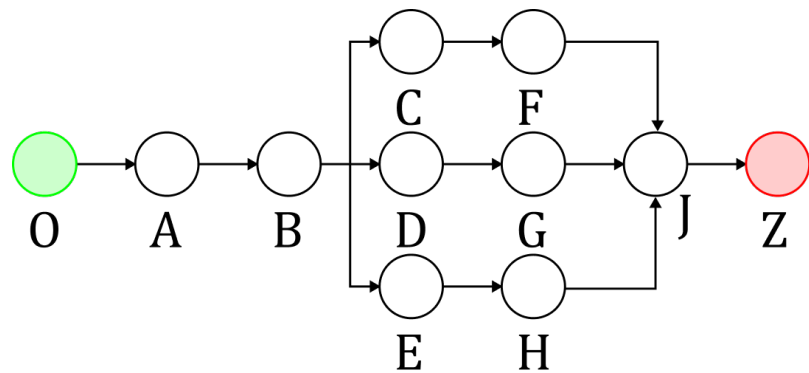


Рис. 4. – Графическое представление вектора 1

или во введенной нотации

$$V_1(O, A, B, C, F, D, G, E, H, Z) = OAB(CF + DG + EH)JZ$$

Раскрыв скобки, мы получим всевозможные траектории реализации атаки  $OABCJZ$ ,  $OABDGJZ$ ,  $OABEHJZ$ .

## Вектор атаки 2: Компрометация системы видеонаблюдения и физических устройств

Аналогично первому этапу введем  $O$ ,  $Z$ . Пусть атака включает следующие этапы:

А – сканирование сети на наличие уязвимых оконечных устройств интернета вещей (Internet of Things – IoT);

В – анализ настроек видеонаблюдения и поиск открытых видеопотоков;

С – эксплуатация известных уязвимостей прошивки (настройки по умолчанию, заводские настройки парольной защиты);

Д – эксплуатация слабых паролей и уязвимостей и внедрение бэкдора;

Е – отключение безопасности или изменение конфигураций IoT-устройств;

Ф – перехват и подмена видеопотоков;

Г – управление IoT-устройствами для физического проникновения;

Н – подготовка к использованию IoT-устройств для последующих атак;

И – проведение атак типа отказ в обслуживании (Denial of Service – DoS) на внутреннюю сеть;

Д – использование IoT-устройств для ботнет сети при реализации других атак.

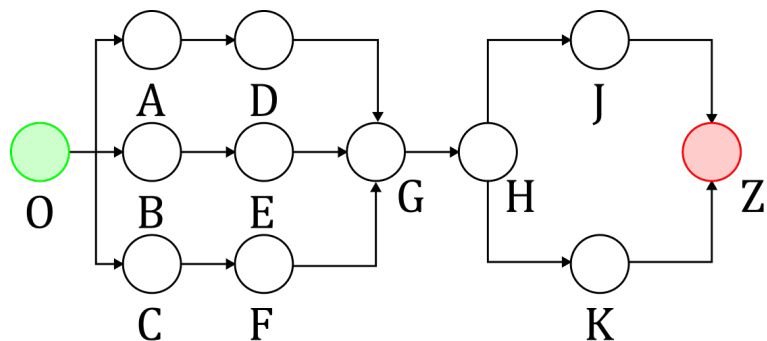


Рис. 5. – Графическое представление модели вектора 2

Во введенной нотации

$$V_2=O(AD+CF+BE)GH(J+K)Z$$

Раскрыв скобки, мы получим всевозможные траектории реализации атаки OADGHJZ, OADGHKZ, OCFGHZ, OCFGHKZ, OBEGHZ, OBEGHKZ.

### Заключение

Предложенная в работе нотация позволяет моделировать действия злоумышленников при помощи расширения размеченных систем переходов, что позволяет в некоторых случаях ввести априорные оценки времени реализации векторов атаки. Подход для построения возможных траекторий реализации сценариев нарушения состояния защищенности информации может быть использован при создании систем обеспечения конфиденциальности, целостности и доступности. Использование нотации подобной описанной в работе, позволяет формализовать процесс реализации всей поверхности атаки для соответствующего вектора. Дальнейшие исследования необходимо проводить для более сложных структур траекторий с учетом противодействия злоумышленникам со стороны службы защиты информации.

### Литература

1. Котенко Д.И., Котенко И.В., Саенко И.Б. Методы и средства моделирования атак в больших компьютерных сетях: состояние проблемы // Труды СПИИРАН. 2012. № 3(22). С. 5-30. EDN РССУЛН.
2. Чечулин А.А., Котенко И.В. Построение графов атак для анализа событий безопасности // Безопасность информационных технологий. 2014. Т. 21, № 3. С. 135-141. EDN RSUFZL.
3. Крюков Д.М. Графоаналитическая модель процесса ликвидации последствий компьютерных атак и реагирования на компьютерные инциденты // Инженерный вестник Дона. 2022. № 4. URL: <http://www.ivdon.ru/ru/magazine/archive/n4y2022/7632>

4. Будко Н.П., Васильев Н.В. Обзор графо-аналитических подходов к мониторингу информационно-телекоммуникационных сетей и их применение для выявления аномальных состояний // Системы управления, связи и безопасности. 2021. № 6. С. 53-75. DOI: 10.24412/2410-9916-2021-6-53-75.
5. Lavore D. E., Gianola A., Román M. et al. Span(Graph): a canonical feedback algebra of open transition systems // Softw Syst Model. 2023. Vol. 22. pp. 495-520. DOI: 10.1007/s10270-023-01092-7
6. Makwana M.D., Thakkar V., Das D., Kumar R. Simulating Cyber-Attack Scenarios by Discovering Petri-Nets from Large-Scale Event Logs // 2024 16th International Conference on COMMunication Systems & NETworkS (COMSNETS). 2024. pp. 49-54. DOI: 10.1109/COMSNETS59351.2024.10427052.
7. Канаев А.К., Опарин Е.В., Опарина Е.В. Моделирование действий злоумышленника при ведении сетевой разведки с использованием инфраструктуры комплексной системы синхронизации и доставки шкалы времени // Известия Петербургского университета путей сообщения. 2025. Т. 22, № 1. С. 263-273. DOI 10.20295/1815-588X-2025-1-263-273. EDN KCYOOS.
8. Метельков А.Н. Моделирование сценариев кибератак в киберполигонах // Научно-аналитический журнал "Вестник Санкт-Петербургского университета Государственной противопожарной службы МЧС России". 2023. № 2. С. 161-176. EDN WFLOEL.
9. Георгица И.В., Гончаров С.А., Мохов В.А. Мультиагентное моделирование сетевой атаки типа распределенный отказ в обслуживании (Distributed Denial of Service – DDoS) // Инженерный вестник Дона. 2013. № 3. URL: ivdon.ru/magazine/archive/n3y2013/1852.

10. Gorrieri R. Labeled Transition Systems // Process Algebras for Petri Nets. Monographs in Theoretical Computer Science. An EATCS Series. Springer, Cham, 2017. URL: [doi.org/10.1007/978-3-319-55559-1\\_2](https://doi.org/10.1007/978-3-319-55559-1_2)

### References

1. Kotenko D.I., Kotenko I.V., Saenko I.B. Trudy SPIIRAN. 2012, no. 3(22), pp. 5-30. EDN PCCYJH.
2. Chechulin A.A., Kotenko I.V. Bezopasnost' informatsionnykh tekhnologii. 2014, vol. 21, no. 3, pp. 135-141. EDN RSUFZL.
3. Kryukov D.M. Inzhenernyi vestnik Dona. 2022, № 4. URL: [ivdon.ru/ru/magazine/archive/n4y2022/7632](https://ivdon.ru/ru/magazine/archive/n4y2022/7632)
4. Budko N.P., Vasil'ev N.V. Sistemy upravleniya, svyazi i bezopasnosti. 2021, no. 6, pp. 53-75. DOI: [10.24412/2410-9916-2021-6-53-75](https://doi.org/10.24412/2410-9916-2021-6-53-75).
5. Lavore D. E., Gianola A., Román M. et al. Softw Syst Model. 2023, vol. 22, pp. 495-520. DOI: [10.1007/s10270-023-01092-7](https://doi.org/10.1007/s10270-023-01092-7)
6. Makwana M.D., Thakkar V., Das D., Kumar R. 2024 16th International Conference on COMmunication Systems & NETworkS (COMSNETS). 2024, pp. 49-54. DOI: [10.1109/COMSNETS59351.2024.10427052](https://doi.org/10.1109/COMSNETS59351.2024.10427052).
7. Kanaev A.K., Oparin E.V., Oparina E.V. Izvestiya Peterburgskogo universiteta putei soobshcheniya. 2025, vol. 22, no. 1, pp. 263-273. DOI [10.20295/1815-588X-2025-1-263-273](https://doi.org/10.20295/1815-588X-2025-1-263-273). EDN KCYOOS.
8. Metel'kov A.N. Nauchno-analiticheskii zhurnal "Vestnik Sankt-Peterburgskogo universiteta Gosudarstvennoi protivopozharnoi sluzhby MChS Rossii". 2023, no. 2, pp. 161-176. EDN WFLOEL.
9. Georgitsa I.V., Goncharov S.A., Mokhov V.A. Inzhenernyi vestnik Dona. 2013, no. 3. URL: [ivdon.ru/ru/magazine/archive/n3y2013/1852](https://ivdon.ru/ru/magazine/archive/n3y2013/1852).
10. Gorrieri R. Process Algebras for Petri Nets. Monographs in Theoretical Computer Science. An EATCS Series. Springer, Cham, 2017. URL: [doi.org/10.1007/978-3-319-55559-1\\_2](https://doi.org/10.1007/978-3-319-55559-1_2)

Дата поступления: 11.11.2025

Дата публикации: 25.12.2025